

BAB V

PENUTUP

5.1 Kesimpulan

Adapun hasil dari pembahasan dari penelitian ini memiliki kesimpulan sebagai berikut:

1. Berdasarkan hasil interpretasi data, penampang bawah permukaan lintasan batu bolong kondisi litologi lokasi / daerah penelitian terdiri atas lempung pasir, breksi lava, andesit dan batuan gamping.
2. Tidak ditemukannya struktur geologi pada tempat/daerah penelitian.
3. Lapisan batu gamping yang diduga sebagai bidang gelincir pada lintasan penelitian ditandai dengan garis putus-putus berwarna hitam (Gambar 4.2), Berjarak 87 meter dari titik awal dengan ketinggian 54 mdpl dan kedalaman 4 meter dari permukaan. Ditinjau dari kemiringan daerah penelitian (lintasan batu bolong dengan kemiringan 60°), daerah ini terbilang termasuk daerah dengan potensi rawan bencana longsor. Dan juga ditemukannya bidang gelincir dari hasil penelitian ini tetapi karena ditinjau dari kedalaman bidang gelincir hanya 4 m dari permukaan, memperkecil resiko terjadinya tanah longsor karena masih termasuk kategori dangkal.

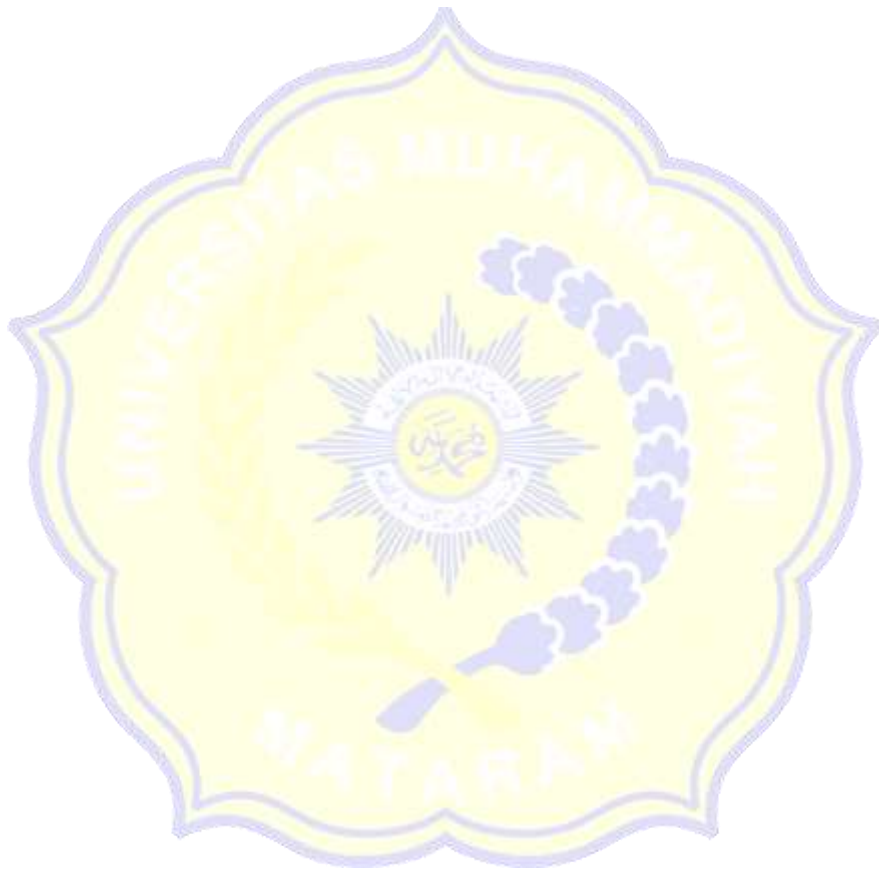
5.2 Saran

Untuk memperoleh hasil yang lebih baik maka disarankan:

1. Perlu dilakukan penelitian dengan metode lainnya sehingga dapat dilakukan perbandingan untuk memperoleh hasil yang lebih akurat.
2. Perlu dilakukan penelitian yang berkelanjutan yakni dengan penambahan titik ukur dan memperkecil spasi elektroda. Hal ini dimaksudkan agar profil bawah permukaan dapat terdeteksi secara keseluruhan sehingga dapat tergambar struktur bawah tanah yang lebih jelas.

DAFTAR PUSTAKA

- Arif dan Irwandi. (2016). Identifikasi Sebaran Batuan Yang Mengandung Mineral Zeolit Menggunakan Geolistrik Konfigurasi Wenner. *Studi Kasus Desa Sumberagung Kecamatan Sumbermanjing Wetan, Kabupaten Malang.*, 36-37.
- Chapman, E. R. (1981). *Geology and Water: An Introduction to Fluid Mechanics for Geologists.*
- Dinas Pertambangan dan Energi NTB. (2007). *Peta Geomorfologi Pulau Lombok.*
- Djoko S. (2002). *Pengantar Teknik Geofisika. Departement Teknik Geofisika ITB.*
- Greenhouse J. dan Pehme, P. (2001). *Application of Geophysics in Geotechnical and Environmental Engineering.*
- Kearey, P. B. (2002). *An Introduction to Geophysical Exploration.*
- Kunetz G. (1966). *Principles of Direct Current Resistivity Prospecting.*
- Loke M.H. (1999). *Electrical Imaging Surveys for Environmental and Engineering Studies*, 50 - 51.
- Milsom J. (2003). Field Geophysics. *The Geological Field Guide Series.*
- Priambodo, I. C. (2011). Aplikasi Metode Geolistrik Konfigurasi Wenner-Schlumberger Pada Survey Gerakan Tanah di Bajawa,. *Bulletin Vulkanologi dan Bencana Geologi*, 1-10.
- Purwanto Sudadi., d. T. (2000). *Peta Hidrologi Pulau Lombok dan Pulau Sumbawa Bagian Barat.*
- Reynolds J.M. (2011). *An Introduction to Applied and Environmental Geophysics.*
- S. Andi Mangga, d. (1994). *Peta Geologi Lombok, Skala 1 : 250.000, Pusat Penelitian dan Pengembangan Geologi, Bandung.*
- Seigel H.O. (1959). *A Theory of Induced Polarization Effect for Step-Function Excitation.*
- Sumer J.S. (1976). *Principles of Induced Polarization Effect for Geophysical Exploration.*
- Telford W.M, G. L. (1997). *Applied Geophysics First Edition.* 1.
- Telford W.M., G. L. (1990). *Applied Geophysics Second Edition.*
- Telford, W. G. (1976). *Applied Geophysics.*
- Telford, W. G. (1990). *Applied Geophysics: Second Edition,*.
- Vebrianto, S. (2016). Identifikasi Sebaran Batuan Yang Mengandung Mineral Zeolit Menggunakan Geolistrik Konfigurasi Wenner (Studi Kasus Desa Sumberagung, Kecamatan Sumbermanjing Wetan, Kabupaten Malang). *Eksplorasi Metode Geolistrik Resistivitas, Polarisasi Terinduksi, dan Potensial Diri.*, 27-29.
- Wahyono C.S., W. U. (2003). Penentuan Bidang Gelincir Pada Daerah Rawan Longsor Dengan Menggunakan Metode Geolistrik 2-D Di desa Lumbang Rejo, Prigen, Pasuruan. *Program Pasca Sarjana Fisika, Bidang Keahlian Geofisika. Jurusan Fisika FMIPA ITS*, 2.



LAMPIRAN

TABEL AKUSISI DATA GEOLISTRIK KONFIGURASI WENNER

KODE LOKASI : HD1
 LOKASI : HUTAN PENDIDIKAN MUHAMMADIYAH
 ORIENTASI BENTANGAN : SW-NE
 MORFOLOGI :
 TANGGAL :12-07-2020
 JAM : 12:30
 KOORDINAT : S 08*30'01,21"
 KETINGGIAN : 29M

NO	n	A	M	N	B	I1	V1	I2	V2	KETERANGAN
1	1	1	2	3	4	136,1	520,7	135,7	517,2	
2		2	3	4	5	80,2	26,1	29,8	27,2	
3		3	4	5	6	124,7	19,4	124,5	119,2	
4		4	5	6	7	156	65,2	165,9	63,3	
5		5	6	7	8	194,2	69,5	144,9	82,8	
6		6	7	8	9	137,4	61,8	137,6	65,3	
7		7	8	9	10	178,1	58,8	179,4	126	
8		8	9	10	11	225,2	145,3	194,4	127,6	
9		9	10	11	12	207,2	152,7	207,6	177,1	
10		10	11	12	13	196,1	150,3	196,9	152,1	
11		11	12	13	14	222,1	269,2	221,3	275,9	
12		12	13	14	15	245,2	449,5	241,1	432,9	
13		13	14	15	16	221,6	255,9	212,7	242,4	
14		14	15	16	17	212,0	461,5	211,1	467,1	
15		15	16	17	18	173,8	234,6	174,7	235,7	
16		16	17	18	19	173,8	259,6	127,0	265,3	
17		17	18	19	20	119,2	313,8	120,1	325,6	
18		18	19	20	21	62,9	41,6	63,8	22,3	
19		19	20	21	22	54,6	149,6	55,1	154,8	
20		20	21	22	23	45,1	84,5	45,9	84,7	
21		21	22	23	24	37,9	63,5	38	63,6	
22		22	23	24	25	43	70	43,6	103,2	
23	2	1	3	5	7	117,2	27,7	117,6	27,9	
24		2	4	6	8	128,2	32,8	128,1	34,3	
25		3	5	7	9	119,6	16,4	120,5	32,8	

26	3	4	6	8	10	210,7	79,0	208,8	79,0		
27		5	7	9	11	144,3	64,6	143,8	69,1		
28		6	8	10	12	149,8	124,9	195,7	122,8		
29		7	9	11	13	137,6	84,6	138,1	86,2		
30		8	10	12	14	195,9	93,9	197,7	97,7		
31		9	11	13	15	175,7	119,0	174,9	119,4		
32		10	12	14	16	257,5	239,4	233,7	241,7		
33		11	13	15	17	253,0	274,6	250,6	265,8		
34		12	14	16	18	191,1	101,3	184,2	164,4		
35		13	15	17	19	151,7	108,2	152,2	108,1		
36		14	16	18	20	126,3	98,9	126,3	101,6		
37		15	17	19	21	119,8	129,9	120,1	129,4		
38		16	18	20	22	58,0	52,8	59,0	65,5		
39		17	19	21	23	70,8	93,3	71,2	78,6		
40		18	20	22	24	55,3	140,2	55,6	144,6		
41		19	21	23	25	74,9	51,7	44,9	51,7		
42		3	1	4	7	10	20	72,6	19,9	47,8	
43			2	5	8	11	16,6	146,6	15,9	74,5	
44			3	6	9	12	31,4	13,6	30,8	12,8	
45			4	7	10	13	31,7	31,1	31,1	13,0	
46	5		8	11	14	28	9,1	26,2	9,3		
47	6		9	12	15	43,4	9,2	39,1	10,5		
48	7		10	13	16	53	70,3	53	108,2		
49	8		11	14	17	68,0	1,2	66,8	12,8		
50	9		12	15	18	90,8	37,7	77,9	6,1		
51	10		13	16	19	124,4	73,9	108,0	60,1		
52	11		14	17	20	137,1	166,9	131,1	92,5		
53	12		15	18	21	108,3	57,2	108,0	35,1		
54	13		16	19	22	79,8	40,2	80,1	20,6		
55	14		17	20	23	60,0	51,5	61,2	47,3		
56	15		18	21	24	60,9	62,1	65,4	55,8		
57	16		19	22	25	95,9	66,7	96,1	63,5		
58	4	1	5	9	13	212,9	68,8	212	64,9		
59		2	6	10	14	121,9	49,4	172,7	49,8		
60		3	7	11	15	207,3	59	204,6	49,8		
61		4	8	12	16	186,6	31,4	187,1	52,4		

62		5	9	13	17	178,2	82,4	178,1	59,7	
63		6	10	14	18	128,6	59,2	128,1	55,1	
64		7	11	15	19	122,1	31,1	123,1	47,8	
65		8	12	16	20	173,5	72,4	174,3	77,6	
66		9	13	17	21	89,2	30,5	88,7	27	
67		10	14	18	22	90	31,7	90,3	31,7	
68		11	15	19	23	89	30,2	83	28,7	
69		12	16	20	24	60,5	25,4	50,7	25	
70		13	17	21	25	82	165,3	84,4	36,6	
71	5	1	6	11	16	182,2	23,5	182,1	35	
72		2	7	12	17	160	36,9	164,1	37,7	
73		3	8	13	18	120,6	24	121,6	28,7	
74		4	9	14	19	171,4	50,7	172,8	52,5	
75		5	10	15	20	112,3	24,2	112,4	15,5	
76		6	11	16	21	65,7	18	66,7	18,3	
77		7	12	17	22	47,7	6,8	48,8	12,2	
78		8	13	18	23	63,7	20,5	64,9	20,5	
79		9	14	19	24	63,8	15,5	162,2	12	
80		10	15	20	25	91,6	30,9	93,9	30,5	
81	6	1	7	13	19	124,4	27,3	142,2	27,6	
82		2	8	14	20	88,1	17,9	87,3	18	
83		3	9	15	21	84,7	11,9	85,7	15,1	
84		4	10	16	22	75,3	10,2	76,3	12,4	
85		5	11	17	23	70,4	12,3	70,2	13,3	
86		6	12	18	24	64,6	15,7	64,9	15,8	
87		7	13	19	25	97	26,4	97,3	25,8	
88	7	1	8	15	22	74,8	29,8	75	15,6	
89		2	9	16	23	42	6,7	42,4	6,2	
90		3	10	17	24	51,4	8,7	51,9	8,3	
91		4	11	18	25	100,5	53,7	99,9	53,5	
92	8	1	9	17	25	97,6	13	97,9	13,3	

GAMBAR 1



GAMBAR 2



GAMBAR 3



GAMBAR 4

